

東京工業大学大学院 学生員 藤田 光一
東京工業大学工学部 正員 日野 幹雄

1. はじめに 降雨流出における損失特性を明らかにすることは、雨水の浸透・土壤保水など流域の内部構造にかかわる流出過程の性質を知る上でも重要であり、山地流域の損失機構に言及した直接流出特性、流出率 f に関する研究が近年多くなされている。本研究では、降雨流出データより損失に密接な関連を持つ項目について流出の物理過程に関する知見をもとに整理検討を行ない、損失機構に考慮を加えたものである。これにより初期流量の損失に与える影響と流出場としての河道付近が果たす役割が明らかにされている。

2. 対象流域並びに検討項目 表1に示す3流域を考察の対象とする。

いずれも森林に被われた人工物のほとんどない山地流域である。また以下に示すものを検討項目とする。 $\left[\text{流出率} f - \text{雨総降水量} \Sigma r - \text{絶損失量} \Sigma g_f - \text{平均降雨強度} F = \Sigma r / T_r - \text{平均損失速度} \bar{g}_f = \Sigma g_f / T_r - \text{初期流量} q_0 - \text{時期(夏期、冬期の区別)} - \text{先行降雨指標 API} \right]$ ここでは、初期流量分を全流量から差引いて直接流出量を求め、一雨の降雨時間から極端に強度の小さい期間を除いたものを降雨持続時間下とした。

3. 一雨降雨の平均強度 F 及び総量 Σr に関して 図1に流域Bの F ～ Σr 関係を示す。雨水の地下への浸透がそのまま損失量に応する場合には、流域固有の $S(K)$ (浸透能が K である部分の面積の割合)を介して r (降雨強度)と \bar{g}_f (流域平均損失速度)の関係が①式により近似的に与えられることが著者らの解析より $\bar{g}_f = r - \int_{r-K}^r (r-K) \cdot S(K) dK$ ①明らかになつている。図1の下

$$\bar{g}_f = r - \int_{r-K}^r (r-K) \cdot S(K) dK \quad \dots \text{①}$$

～ Σr 関係は大きくバラツキしており山地流域の損失が浸透だけでは説明できないことがわかる。一方図2には Σr ～ \bar{g}_f 関係が流域A,Cについて示されている。タイプAは異なるが流域とも Σr が大きい程 \bar{g}_f の割合が減りする傾向があり、また上述の F ～ \bar{g}_f 関係に比べバラツキが少ない。このことは流域内に一定以上雨水が貯留されると流出が開始するという損失の原因を土壤、岩盤中の保水に帰す考え方を裏付けるものである。しかし同一のデータを流出率 $f = \bar{g}_f / \Sigma r$ と Σr の形で表すと(図3)かなりバラツキが大きく見掛け程

良い関係にはないことがわかる。したがってさらに別の要因が損失に関係していると考えられる。なお、 Σr ～ \bar{g}_f 、 F ～ Σr 関係の傾向が季節的に変化しないことから(図1,2), これらの流域における現データで見る限り直接流出に及ぼす季節的な植生の変化の影響は小さいものと思われる。

4. 流出率 f と初期流量 q_0 の関係 図4に f と q_0 の関係を示す。流域B,Cには、同一規模の q_0 を持つ降雨につれて q_0 の増加に伴う流出率 f の増大の傾向が見られる。但し q_0 が80mm以上の降雨にはこの傾向がない。また流域Aでは、 q_0 が

表1 対象流域

	流域面積
梅川流域小試験地 [A]	0.4 km ²
美和小試験地 [B]	1.3 km ²
裏筑波流域小試験地 [C]	3.1 km ²

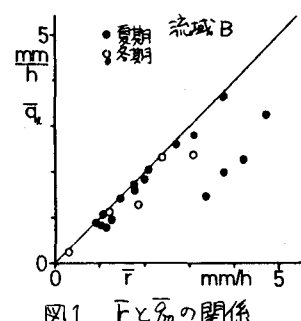


図1 F と Σr の関係

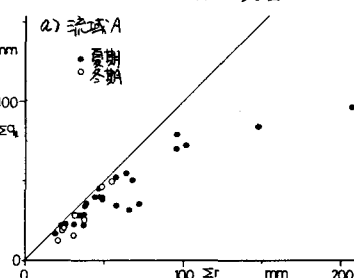


図2 a) Σr と \bar{g}_f の関係

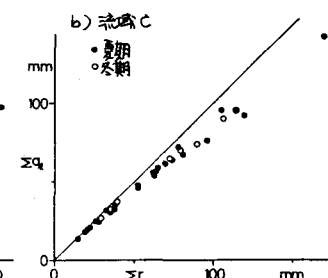
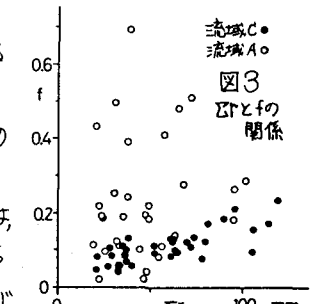


図2 b) Σr と \bar{g}_f の関係



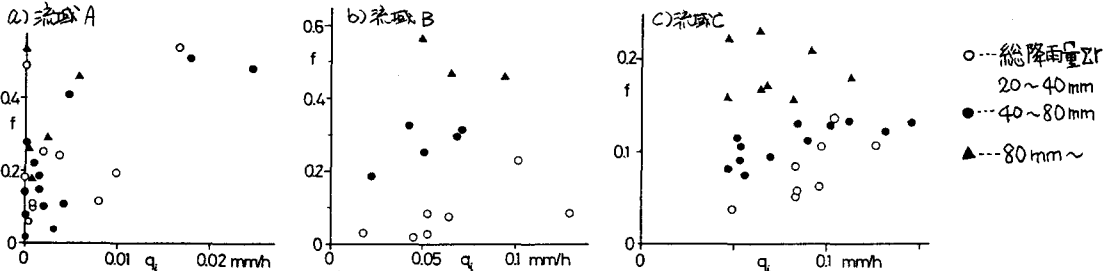


図4 初期流量 q_i と流出率 f の関係 (総降雨量別による分類)

小さい場合の f のバラツキが大きくなるにしたがい q_i が急激に増大して一定に近づく傾向が見られる。このように3流域とも q_i が f に何らかの影響を受けている。ここで f の意味を考察する。図5には降雨開始から流出開始までの時間 T_f と q_i の関係が流域A,Bにについて示されている。 T_f は雨水が河道付近の土壌を湿らせる或いは地下水まで浸透するのに要する時間と考えられ、この T_f が q_i と反比例の関係にあることから、 q_i が河道付近の地下水の高さまたは土壌の湿潤度を表わしていると言えよう。さらに実河川においても地下水位が河川流量と固定した関係を持つことが報告されており⁽⁵⁾。以上より q_i は流域全体の湿潤度を表わすというよりも地下水位の高さをあらわす河道付近の土壌の湿潤度の指標に近づくと思われる。このことから流域B,Cにおいて q_i が小さい降雨についてだけ f が q_i に依存する前述の傾向は、損失が河道付近の湿潤度に大きな影響を受け、 q_i が大きい降雨では流域全体の損失機構が重要になることを意味するものと思われる。そしてこの損失機構の変化は累積降雨の増大に伴い同一降雨中に起ると言えられる。流域Aにつけば他の流域と比較して q_i が非常に小さくなるから、谷付近の内部構造がB,C流域と異なりおりそのため q_i へ f の関係にも違いが現われていると推定される。

5 損失機構を表現するモデル

上記の考察結果を考慮し

損失特性の時間変化まで表現できるように①式を拡張する。

累積降雨量、累積損失量をそれぞれ $R = \int_0^t r dt$, $Q_d = \int_0^t q_i dt$

とする。初期流量 q_i に応じた固定した $Q_d \sim R$ 関係が存在すると仮定すると、②式より流域平均損失速度 r とその時の降雨強度 r の関係が求まる。一方①式から③式が導かれ、③式に②式の $q_i \sim r$ 関係を代入すると④式が得られ、これにより流域内の浸透能 K の分布 $S(K)$ の時間変化が求まる。なお $S(K)$ に時間変化が考慮されないので、土壌・岩盤中の雨水の貯留による損失はその時刻における K が無限大的領域として表現される。④式は $K=0$ の面積の割合が $[1 - G(\int_0^t r dt)]$ でありその他の場所の K が無限大であること、すなわち流域が不浸透域と流出に寄与しない部分の2つに分けられることを示している。

$Q_d \sim R$ 関係は q_i などにより変化するがその傾向は図2の $q_i \sim r$ 曲線に一致し $G(R)$ は R の増大に伴い減少すると考えられる。

したがってこの不浸透域の面積 $[1 - G(\int_0^t r dt)]$ は時間と共に増大し、特に r が大きい場合には非常に大きくなると推定される。これは④で述べた損失特性の変化に対応し、降雨初期の不浸透域は河道付近に対応するのではないかと思われる。

以上本研究により山地流域の損失特性が明らかにされた。上記の損失モデルは雨が降った時点での損失量が決定されるという仮定に基づいており、今後土壌保水地下への浸透などの損失機構を物理的に検討する必要がある。謝辞：本研究で用いた資料の一部は山梨大学萩原能男教授より戴いたものであり深く謝意を表します。

参考文献(1) 山田, 1981, 論文報告集, No.306, P11~22 (2) 日野・長谷部, 1982, 水講P349~353 (3) 高橋・安藤, 1982, 水講, P197~203 (4) 日野・山田・藤田, 1982 水講, P321~328 (5) 江川・田代, 1981, 研究報告, No.16 (6) 美和川試験地水文観測資料, 土研 (7) 裏見筑波試験地水文観測資料, 土研

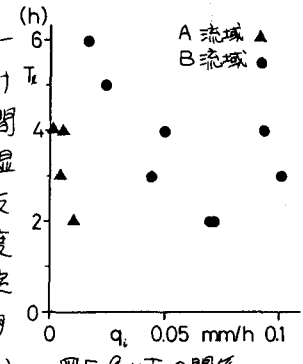


図5 q_i と T_f の関係

$$Q_d = \frac{dQ_d}{dt} = \frac{dQ_d}{dR} \cdot \frac{dR}{dt} = \frac{dQ_d}{dR} \cdot r = G(R) \cdot r \quad \text{---②}$$

$$(G(R) = dQ_d / dR)$$

$$S(K) = -\frac{\partial Q_d}{\partial K^2} + \left\{ 1 - \frac{\partial Q_d}{\partial K} \Big|_{K=0} \right\} S(K) \quad \text{---③}$$

$$S(K, t) = [1 - G(\int_0^t r dt)] \cdot S(K) \quad \text{---④}$$

$$S(K) : \text{テータ関数}$$